## 太陽風と太陽風擾乱の生成

### 2-3 Solar Wind and Interplanetary Disturbances

亘 慎一 WATARI Shinichi

## 要旨

はじめに太陽風及び太陽風擾乱についてのこれまでの基礎的な理解について述べる。次に、最近の観 測や理論などによる新たな研究成果に関して議論する。最後に、太陽風擾乱を予報するために行われて いる幾つかの試みについて述べる。

This report describes basic knowledge of solar wind and interplanetary disturbances first. And then it discussed recent results from new observations and theories. At the end it presented research activities to predict interplanetary disturbances for space weather forecast.

### [キーワード]

太陽風、太陽風擾乱、コロナガス噴出、コロナホール Solar wind, Interplanetary disturbance, Coronal mass ejection, Coronal hole

### はじめに

太陽活動周期22から23にかけて、「ようこう」 (1990年~2002年)[1]、SOHO(Solar and Heliospheric Observatory, 1995年~)[2]、 TRACE (Transition Region And Corona Explorer, 1998年~)[3]、RHESSI(Reuven Ramaty High Energy Solar Spectroscopic Imager, 2002年~)[4]、WIND (1994年~)[5]、 ACE(Advanced Composition Explorer, 1997年~) [6]、ユリシーズ (Ulysses, 1990年~)[7] などの衛 星や探査機によって太陽及び太陽風の観測が連 続的に行われ、多くの新しい知見が得られつつ ある。

ユリシーズは、太陽活動の極小期(1994年-1995年)と極大期(2000年-2001年)の2度にわ たって太陽の両極付近の上空を通過し、高緯度 における太陽風の直接観測を初めて行った。「よ うこう」衛星に搭載された軟 X 線望遠鏡 (SXT: Soft X-ray Telescope) によるほぼ11年間の太陽 観測は、太陽外延の大気(コロナ)が太陽活動の 極小期ですらダイナミックに活動していること

を明らかにした。SOHOに搭載された極端紫外 線望遠鏡(EIT: Extreme ultraviolet Imaging Telescope) 及びコロナグラフ (LASCO: Large Angle and Spectrometric Coronagraph) によるコ ロナガス噴出 (CME: Coronal Mass Ejection) と呼 ばれるコロナ中の擾乱の観測と WIND 衛星や ACE衛星による太陽風擾乱の直接観測は両者の 関連をより明確にした。また、ACE衛星は地球 の約150万km上流のL1と呼ばれる太陽と地球の 重力が釣り合うラグランジュポイントで連続的 な太陽風の観測を行い、ほぼリアルタイムでそ の観測データを地球へ送信することにより、約1 時間前に地球での地磁気擾乱発生を予測するこ とを可能にした。

本報告では、最新の研究成果に基づいて太陽 風及び太陽風擾乱について概観する。また、太 陽風及び太陽風擾乱の予報に関する試みについ て紹介する。

### 太陽風の起原とその性質

#### 2.1 太陽風の加速

太陽から超音速で吹き出すプラズマの流れで ある太陽風の存在は、パーカーによりその存在 が理論的に予測されていた [8]。ドイツの天文学 者ビアマン (Bierman) は彗星の観測から間接的に その存在に気づいていたが、旧ソ連や米国の衛 星による直接観測で太陽風の存在が確認された のは1960年代であった。

パーカーの理論は、100万度の太陽コロナ中の プラズマに働く力として圧力勾配による力と重 力を考えたときにコロナのプラズマが超音速で 吹き出す状態が安定であることを示したもので ある。球対称で等温の一流体プラズマを仮定す ると、定常状態では、

$$nmV\frac{dV}{dr} = -\frac{d(2nkT)}{dr} - \frac{nmGM}{r^2} \cdots \cdots (1$$

ここで、Vは速度、mはプラズマ粒子の質量、n はプラズマ密度、Tは温度、kはボルツマン定数、 Gは重力定数、Mは太陽の質量、rは太陽中心か らの距離である。これに連続の方程式を用いる ことによって、

$$\frac{1}{2} \left( 1 - \frac{V_s^2}{V^2} \right) \frac{dV^2}{dr} = \frac{V_s^2}{r} - r_0 \frac{V_g^2}{2r^2} \cdots (2)$$

が得られる。ここで、 $V_s^2 = 2kT/m$  (音速)、 V<sub>2</sub><sup>2</sup>=2GM/r<sub>0</sub> (太陽の重力からの脱出速度)、r<sub>0</sub>は コロナ底部の太陽中心からの距離である。コロ ナの底部でプラズマの速度Vが音速V。より小さ いとすれば、右辺が負であればプラズマは加速  $(dV^2/dr>0)$  されることになる。コロナの温度を T=10<sup>6</sup>K、r<sub>0</sub>を太陽半径とすると、V<sub>s</sub>=130 km/s、  $V_g$ =620 km/s なので、r=  $r_0$ では式(2)の右辺は負 となり、プラズマは外側に向かって加速される。 r/r<sub>0</sub>=V<sub>g</sub><sup>2</sup>/2V<sub>s</sub><sup>2</sup>を満たす臨界点 (critical point) で音 速となる解を選ぶと、その後も加速が続くこと になる。臨界点を超えたところで式(2)の右辺と 左辺の $(1 - V_{s}^{2}/V^{2})$ が同時に符号を変えてどちら も正となり、音速を超えても加速され続け超音 速となる。この太陽風が超音速の流れとなる解 を図1に示す。

最近では、Grallら[9]が、太陽風による電波星 のシンチレーション (IPS: Inter-Planetary Scintillation) の観測から太陽風の速度や密度揺ら ぎを求める手法を用いて、太陽風の加速は太陽

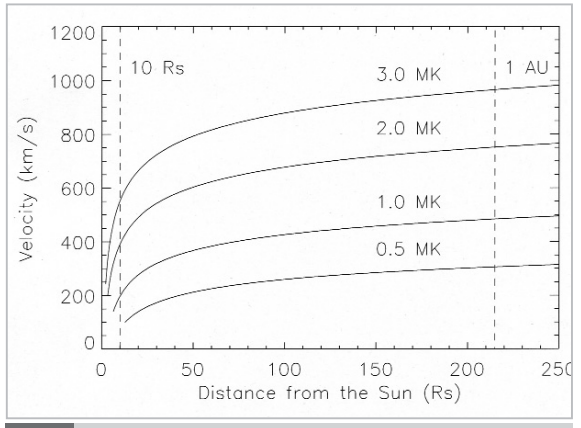


図 1 パーカーの理論による太陽風加速

半径の10倍以内でほぼ終了していることを明ら かにした。これは、太陽風の "rapid acceleration" と呼ばれている。また、温度の低いコロナホー ルからより高速・高温の太陽風が吹き出されて おり、地球近傍で実際に観測される太陽風の密 度は理論によって予測される密度より小さい。 これらの観測事実をうまく説明するためにはパ ーカーの理論だけでは不十分で、太陽近傍での 付加的な加速機構を考える必要がある。

現在では、この付加的な太陽風加速のエネル ギー源は、太陽コロナを6千度から百万度に加熱 するエネルギー源と同じものであると考えられ ている。光球面の対流が磁力線を揺らし波動が 磁力線に沿ってコロナにエネルギーを運ぶとい う[波動説][10][11]と小さなフレアがひっきりなし に起こってコロナにエネルギーを供給するとい う[ナノフレア説][12]があるが、まだ、観測によ る十分な検証はなされていない。

ナノフレア説については、現在の観測から得 られるフレアのサイズと発生頻度の関係から推 定されるコロナへのエネルギー供給ではコロナ の加熱を説明するには不十分であるとされてい る[13]~[16]。より高分解能、高感度の観測でナノ フレアの発生頻度を調べる必要がある。一方、 高速太陽風の源となっているコロナホールでは 乱流によりコロナ輝線のスペルトル幅が静穏領 域(閉じた磁場の領域)よりも大きいことがRaju ら[17]によって観測されており、この観測結果は 波動によるエネルギーの供給を支持するものか もしれない。

### 2.2 太陽風の性質

### 2.2.1 地球近傍での平均的な性質

平均的な太陽風のパラメータを表1に示す。地球近傍での太陽風中の音速は約60 km/sなので、数百 km/sの速度を持つ太陽風は超音速の流れとなっている。太陽風によって運び出されるエネルギーは太陽から放出される全エネルギーの100万分の1程度にすぎないが、宇宙環境の変動を起こす主原因となっている。

組成は水素イオンがほとんどの部分を占め、 5%程度のヘリウムイオン、少数の重イオンから なり、イオンとほぼ同数の電子が存在する。ま た、密度が小さいため、太陽風中の衝撃波は、 ショックの厚さが衝突距離より薄い、無衝突衝 撃波(collisionless shock)となっている。

表 1 平均的な太陽風のパラメータ		
パラメータ		平均的な値
速	度(km/s)	450
温	度 (K)	$1.2 \times 10^5$
密	度 (cm <sup>-3</sup> )	6.6
磁場強度(nT)		7.0

### 2.2.2 惑星間空間磁場とセクター構造

太陽風プラズマは電気伝導度が高いので、磁場はプラズマに凍結 (frozen-in) されており、プラズマの運動に引きずられるように動く。太陽風のプラズマは太陽から放射上に運動しているが、太陽が自転しているため、太陽風の磁場はアルキメデススパイラル (Archimedes spiral)と呼ばれる曲線となる (図2)。スパイラル磁場と半径方向のなす角 φ は、

$$\tan \phi = \frac{B_{\phi}}{B_{\tau}} = -\frac{\omega r}{V} \quad \dots (3)$$

で与えられる。ここで、 $B_r$ は磁場のr成分の大きさ、 $B_\phi$ は磁場の $\phi$ 成分の大きさ、 $\omega$ は太陽自転の角速度、rは太陽からの距離、Vは太陽風の速度を表す。地球付近では、 $\phi$ は約45度となる。太陽から離れるに従って、 $\phi$ は大きくなり、木星付近では90度に近くなる。

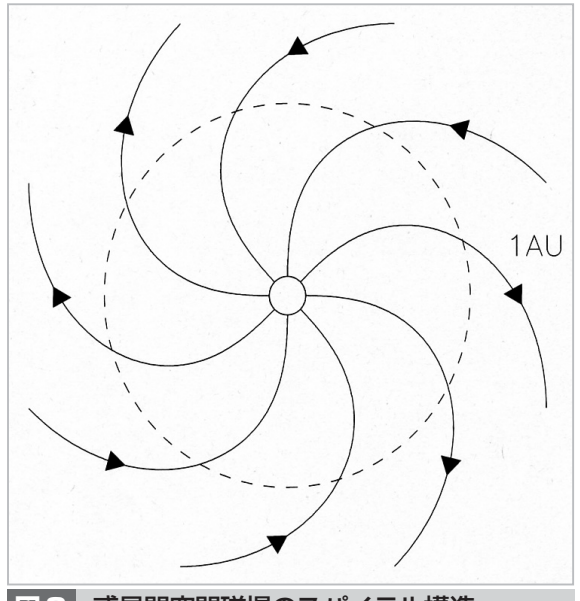


図2 惑星間空間磁場のスパイラル構造

太陽風中の磁場は惑星間空間磁場 (IMF: interplanetary magnetic field) と呼ばれる。この IMF は、太陽から外向き (+: away) と内向き (-: towards) 領域がほぼ太陽の自転周期 27 日で繰り返すようなセクター構造 (sector structure) をしている。外向きと内向きの磁場が切り替わる領域をセクター境界 (sector boundary) と呼ぶ。

#### 2.2.3 高緯度の太陽風

欧州宇宙機関(ESA: European Space Agency) と米国航空宇宙局(NASA: National Aeronautics and Space Administration)が共同で打ち上げた探査機ユリシーズは、太陽活動の極小期(1994 – 1995)と極大期(2000 – 2001)に太陽系の高緯度領域の観測を行った。ユリシーズの観測によれば、極小期には速度が速く密度の低い高緯度の領域と、速度が遅く密度が高い低緯度の領域がはっきりと分かれている[18][19]。一方、極大期付近では、太陽風は全体的に速度が遅く密度の低い状態で低緯度の領域と高緯度の領域でそれほどはっきりと分かれていないことが分かった[20][21]。

#### 2.2.4 地球磁気圏との相互作用の季節変化

地磁気擾乱は春と秋に多く発生する傾向がある。これは太陽風と地球磁気圏の相互作用の季節依存性によるもので、幾つかの原因が考えられている。春と秋に地球の自転軸が太陽と地球を結ぶ線とが直交するので、太陽風に対して地球磁気圏がケルビン・ヘルムホルツ(KH)不安定を起こしやすくなるという「地軸説」[22]、太陽の

自転軸と地球の公転面の関係から春と秋に地球が太陽のより緯度の高いところに位置するので、中緯度にあるコロナホールの影響を受けやすいためとする「日軸説」[23] [24]、地球の自転軸が公転面に対して約23.5度傾いているので、春には(-)のセクターで、秋には(+)のセクターで、それぞれ太陽磁場の半径方向の成分から南向きのIMF成分が生み出されるとする「ラッセル・マクファーン効果(Russell - McPheron Effect)」[25]が考えられている。この季節依存性に関して、最近、Cliverらの論文[26]により「地軸説」が再評価されている。

### 2.2.5 太陽圏

太陽風の勢力圏は「太陽圏」と呼ばれており、 太陽風の圧力と星間空間の圧力が釣り合う90AU 付近に境界が存在すると考えられているが、太 陽周期活動に伴う太陽風圧力の変化により太陽 圏の大きさは変動する[27]。2002年現在、85AU 付近を飛翔中のボイジャー1号や67AU付近を飛 翔中のボイジャー2号などの探査機により、近い 将来、太陽圏の境界が直接観測されると思われ る。太陽圏は周囲の星間物質に対して20km/sの 速度で動いているので、彗星のように尾を引い た構造をしていると考えられている。

### 3 太陽風の擾乱について

#### 3.1 回帰性の擾乱

図3に地球近傍で観測された太陽風パラメータ のプロットを示す。図に示した太陽風速度など に見られるように、太陽風の変動には太陽の自 転周期27日で繰り返すものがある。これは、太 陽のコロナホール (coronal hole) と呼ばれる領域 から吹き出される高速の太陽風によるものであ る。コロナホールは開いた磁場構造をしており、 図4に示したように軟X線では暗い領域として観 測される。図3の矢印の高速太陽風はこのコロナ ホールに関連したものである。コロナホールか らの高速太陽風が先行する遅い太陽風に追いつ くとその境目を中心にプラズマの圧縮が起こる。 遅い太陽風の領域では圧縮によるプラズマ密度 の増大が見られ、後ろから追いついた速い太陽 風中ではプラズマの運動エネルギーが熱エネル ギーに変わり温度が上昇する。この流れの接触 面をstream interface、圧縮された領域を太陽の 自転とともに共回転する相互作用領域 (CIR: Corotating Interaction Region) と呼ぶ (図5)。 CIR の中では IMF の強度が強められるとともにその 方向が乱されているため、太陽の自転周期、約 27日で繰り返す回帰性地磁気擾乱の原因となっ ている。

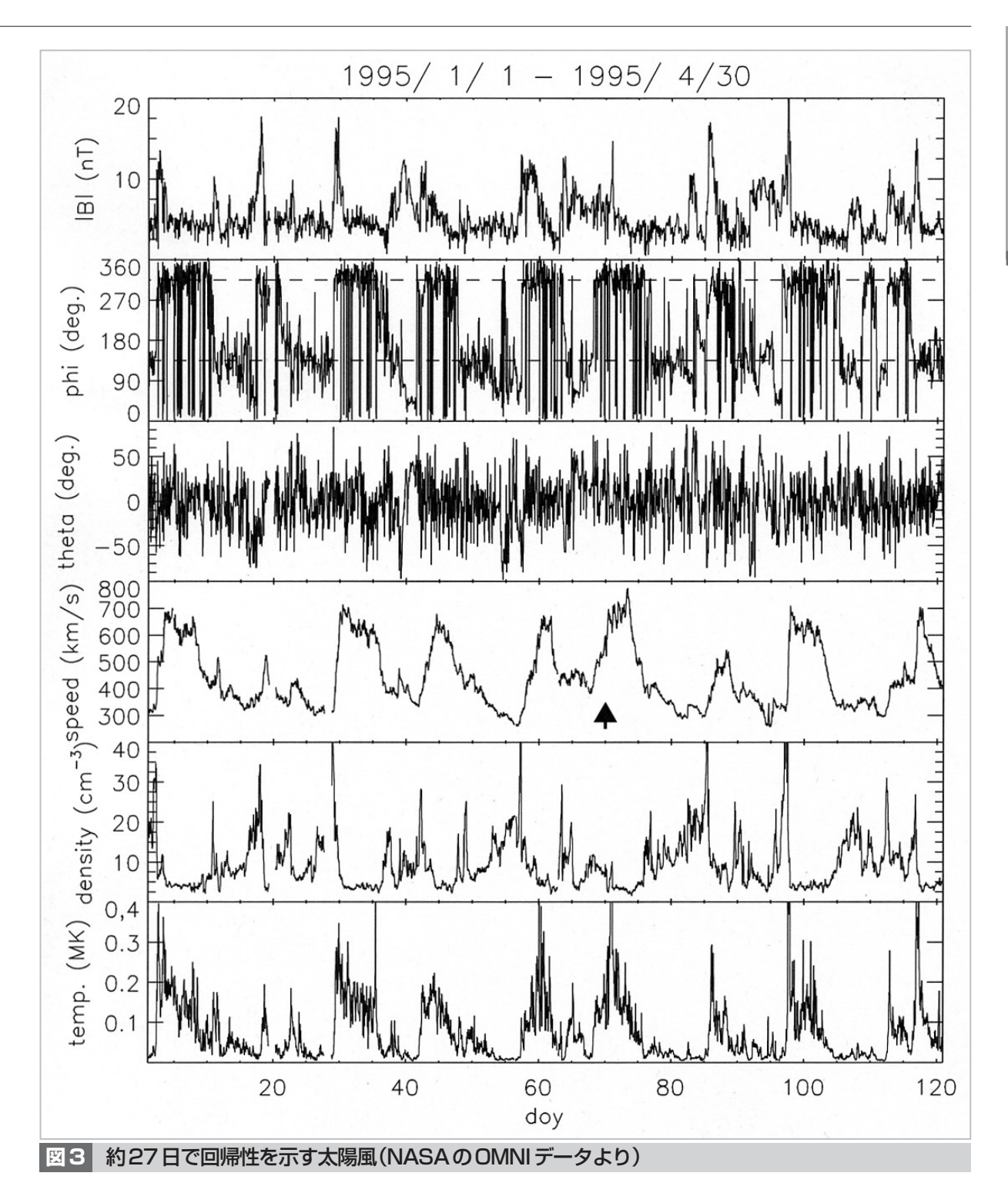
太陽から離れるに従ってCIRは発達し、衝撃波が形成されるようになる[28][29]。これを共回転衝撃波(corotating shock)と呼ぶ。この衝撃波は、前進衝撃波(forward shock)と後進衝撃波(reverse shock)の組合せで発達する。CIRに続く高速太陽風の領域では、アルフヴェン波的なIMFの大きな変動があり、高速流とこのIMFの大きな変動により、弱い地磁気擾乱が長く続くこともある[30][31]。

### 3.2 突発性の擾乱

突発的な太陽風擾乱の原因となる CME は、1970年代から 1980年代かけて OSO-7衛星、スカイラブ (Skylab)、P78-1/Solwind、SMM (Solar Maximum Mission) など一連の宇宙からのコロナグラフ (太陽本体と周辺の明るい部分の像を遮蔽してコロナを観測する装置) による観測でその存在や性質が明らかにされた[32] [33]。

典型的な CME は、明るいループ (フロント)、暗い部分 (cavity)、プロミネンスの三つの部分からなる。図 6 に SOHO/LASCO で観測された CME の時間発展の様子を示す。発生頻度は太陽活動に応じて増減し、極大期では平均して1日に  $1\sim2$ 回程度である。また、発生領域は、極小期には太陽の低緯度に集中し、極大期には高緯度まで広がる傾向にある。平均的な CME は、広がりが  $40\sim50$  度、速度が  $400\sim500$  km/s、質量が $\sim10^{12}$  kg、そのエネルギーが $\sim10^{30}$  エルグである [32] [33]。

磁場の歪として蓄えられたエネルギーが開放されてCMEが起こると考えられているが、そのトリガーのメカニズムに関しては、まだ、はっきりと分かっていない。光球面の流れによる磁気ループの足元のシアーモーションやコンバージングモーション、光球から浮上してくる磁場とのリコネクションなどいろいろなアイデアが出され、シミュレーションなどによる理論的な

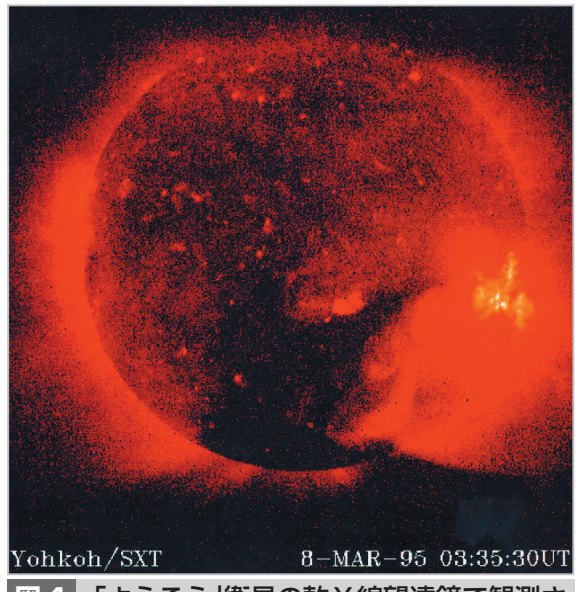


研究が進められているところである[34][35]。

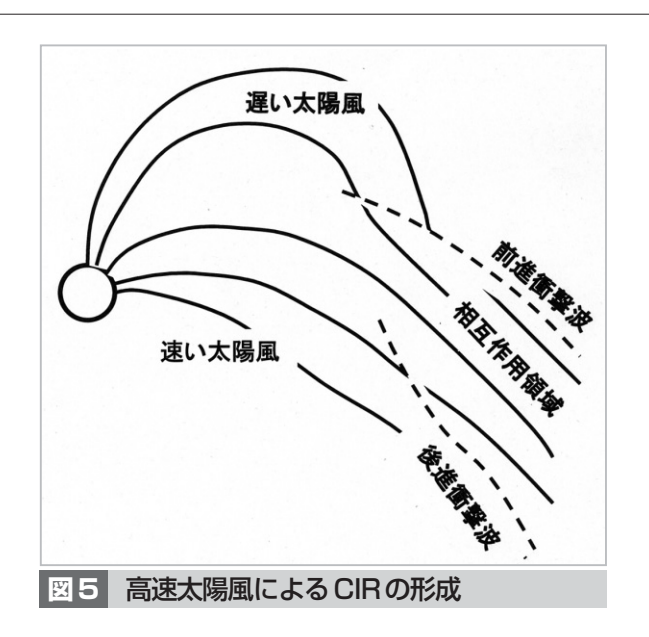
これまでの研究により、CMEに伴ってフィラメント消失やLDE (Long Duration soft X-ray Event) と呼ばれる継続時間の長い X 線強度の増加が観測されることが多いことが知られている [36]。日本の宇宙科学研究所が1990年夏に打ち上げた「ようこう」衛星は、搭載された軟 X 線望遠鏡 (SXT) によって、CME に対応してしばしば軟

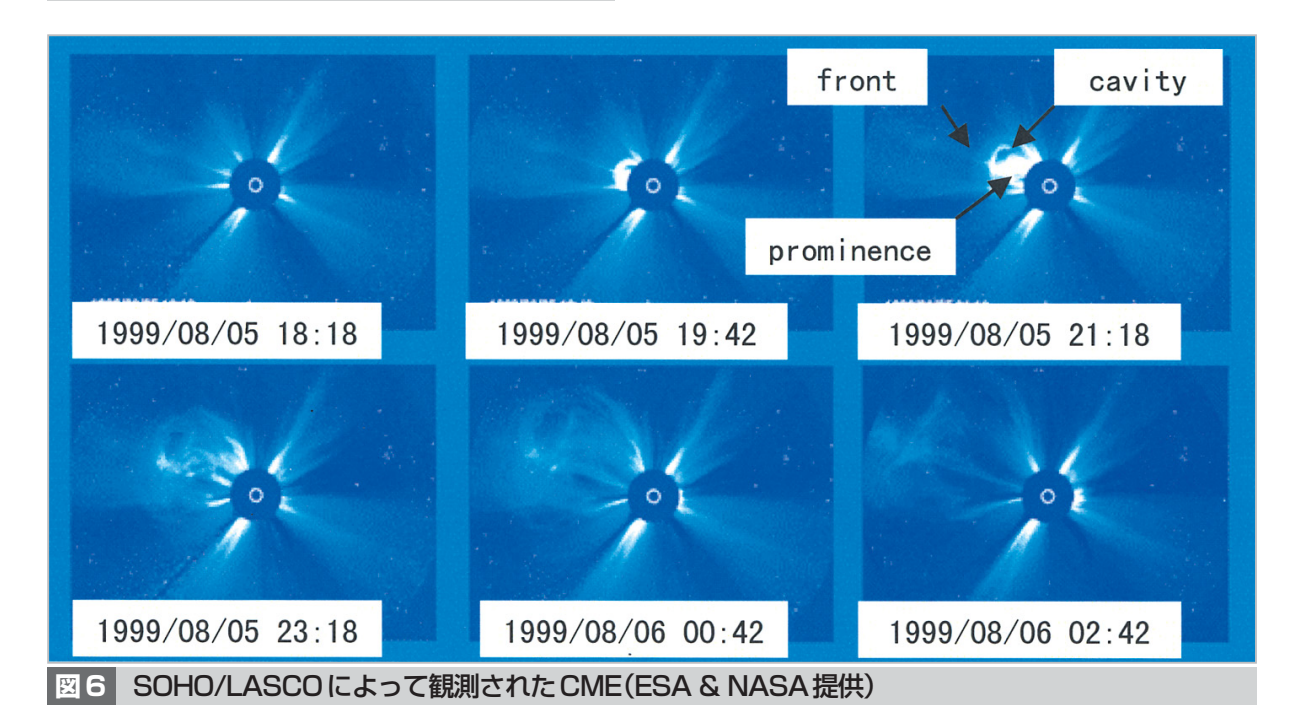
X線のアーケードが形成されることを示した[37] [38] (図7)。この軟 X線アーケードの形成が LDE の原因と考えられている。

ESAとNASAが1995年に打ち上げたSOHOは、高感度、広視野(太陽半径の約30倍)のコロナグラフ(LASCO)を搭載しており、多くのCMEが観測されている[39]。特にhalo CMEと呼ばれるリング状に見えるCMEが多く観測されて



「ようこう」衛星の軟X線望遠鏡で観測されたコロナホール (ようこう SXTチーム提供)





いる(図8)。これは、太陽から地球方向あるいは 太陽の裏側で発生した現象に伴い地球と反対方 向に向かう擾乱を観測したものである。CMEに 伴う惑星間空間擾乱が地球に到来するとその衝 撃波や強い南向き成分を持ったIMFにより地磁 気擾乱が発生する[40]。

CMEの発生に伴って軟X線や極端紫外線の減 光 (dimming) がしばしば観測されている。これ は、CMEによりコロナ中の物質が失われたため であろうと考えられている[41]~[45]。また、軟X 線でS字型あるいは逆S字型の構造をした活動領 域で、CMEが発生しやすいという報告[46][47]が ある。この構造は、活動域での磁気シアーによ るもので、北半球ではS字型、南半球では逆S字 型の構造が多く観測される傾向にある。

SOHO衛星に搭載された極端紫外線望遠鏡 (EIT) は、CME に伴って EIT 波と呼ばれる同心 円上に広がっていく波が観測されることがある ことを示した[48] [49] (図9)。EIT 波に類似した太 陽面現象としてフレアに伴ってHα線の観測によ

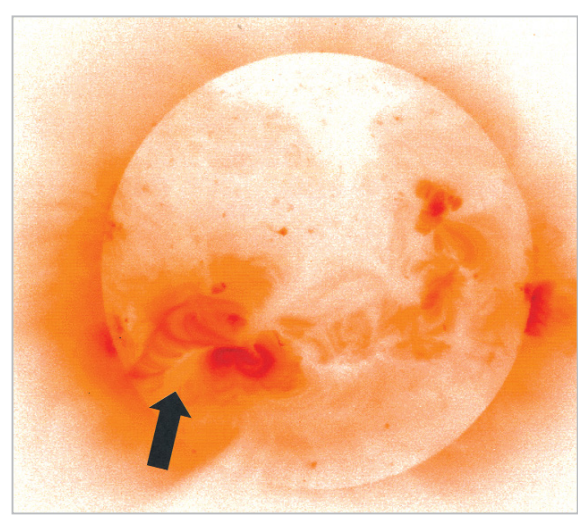


図7 「ようこう」によって観測された軟X線アーケード (ようこうSXTチーム提供)

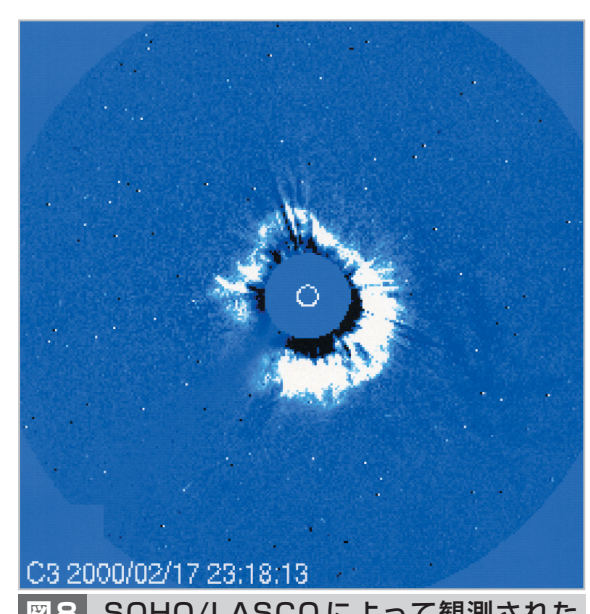
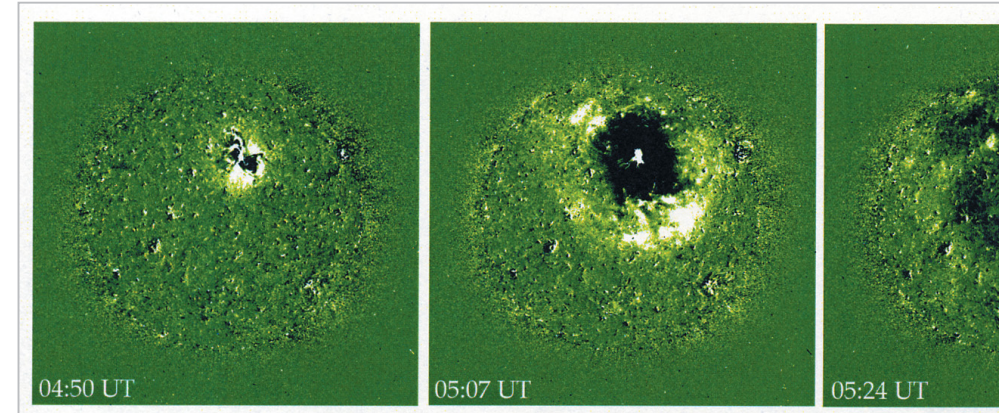


図8 SOHO/LASCOによって観測された halo CME(ESA & NASA提供)



SOHO-Extreme ultraviolet Imaging Telescope (EIT)
observations of Moreton wave expanding from coronal mass ejection (CME) initiation site
1997 May 12
First differences in Fe XII 195 Å (1.5 MK)

### 図 9 SOHO/EIT で観測された EIT-wave (ESA & NASA 提供) (注) 図は差分をとった表示である。

り彩層で観測されるモートン波がある[50]。EIT 波とモートン波の同時観測によれば、速度や場所にかなりの違いがあることなどから、両者は違うものである可能性が指摘されている[51]。

太陽フレアによるだけでなくCMEに伴う惑星間空間衝撃波により電子や粒子が加速され、地球近傍で高エネルギー粒子の増加が観測されることがある(プロトン現象、proton event)[52] [53]。時には、加速された電子がプラズマ波を励起し、衝撃波が電子密度の大きい太陽から離れるに従って、励起される電波が高い周波数から低い周波数へドリフトする惑星間空間II型電波バーストが観測される[54]。高エネルギー粒子の伝搬は

惑星間空間磁場の影響を強く受けるため、その発生した位置と地球とのIMFの関係で、地球近傍で観測される高エネルギー粒子フラックスの時間変動やエネルギースペクトルの違いが出る。それらの観測結果から、図10のような惑星間空間擾乱の構造が考えられている[52][53]。すなわち、太陽の西側の経度でCMEが発生したときは、フラックスは急激に増加して時間とともに減少する、東側の経度でCMEが発生したときは、ゆっくり増加して衝撃波が地球に到達する近くで、最大のフラックスになる。

CMEによる擾乱に伴って、惑星間空間の太陽 風中で、温度の低い領域、ヘリウムと水素の存

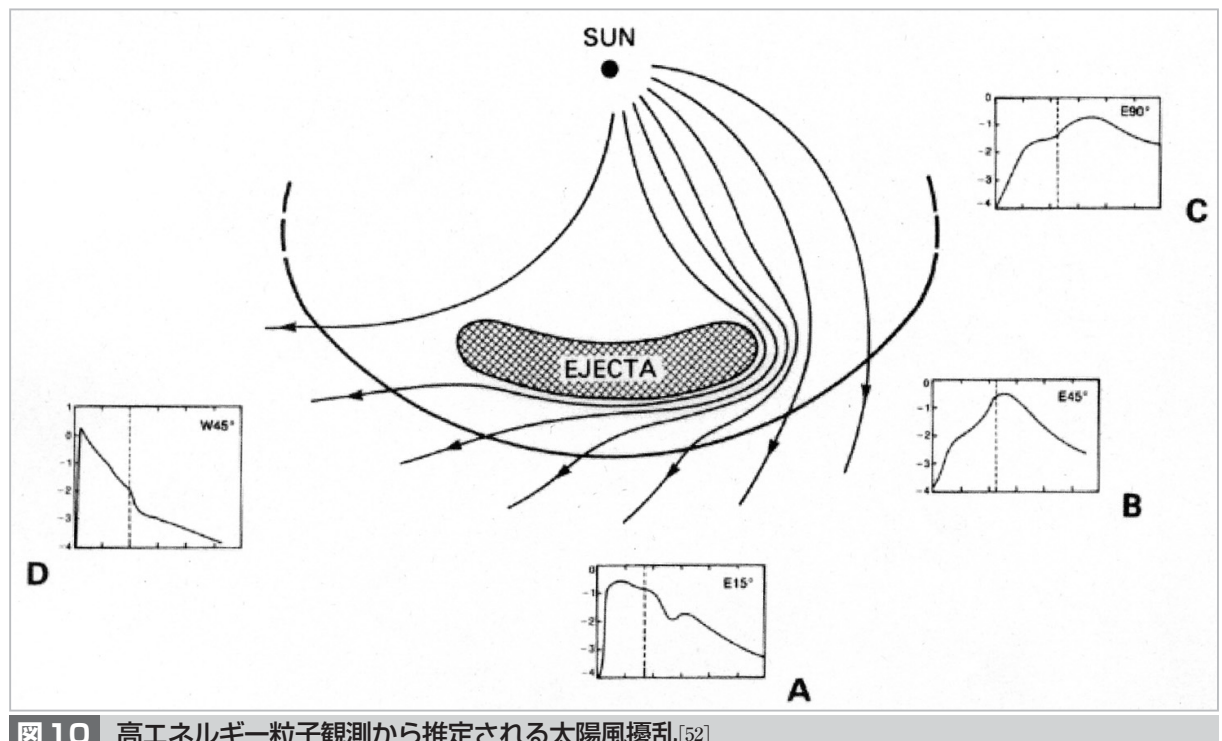


図 10 高エネルギー粒子観測から推定される太陽風擾乱 [52]

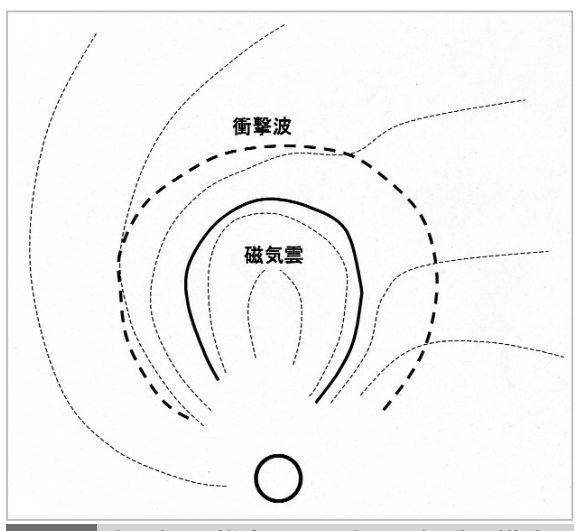


図 1 1 観測から推定される太陽風擾乱の構造

在比が0.08より大きい領域、電子や粒子の双方向 流 (bi-directional flow) のある領域、磁場が強く磁 場のベクトルがスムーズに回転する領域などが 観測されることがある[55]。これらの観測結果を うまく説明するため、図11に示すような惑星間 空間擾乱の構造が考えられている。

### 予報へのアプローチ

### 4.1 背景の太陽風速度とIMFの予測

観測を基に地球近傍の太陽風速度やIMFのセ

クターを予測しようという幾つかの試みがなさ れている。

### **4.1.1** Wang-Sheeley モデル[56] [57]

太陽表面の磁場観測をもとに、地球における 背景の太陽風速度やIMFの極性を予測する。ま ず、ポテンシャル場として、太陽表面の磁場観 測データから2.5太陽半径離れたソースサーフェ スと呼ばれる球面上での磁場を計算する。次に 太陽表面とソースサーフェスにおける磁場のラ ジアル成分の比 (expansion factor) とそれに対応 する太陽風速度が反比例するという経験式を用 いて太陽風速度予測を行うものである。米国海 洋大気庁宇宙環境センター(NOAA/SEC)の Arge ら[58] は、より多くのデータを用いて expansion factorと太陽風速度の関係式を求め直し、毎 日の太陽表面磁場観測データを用いてソースサ ーフェスの磁場を計算するなどして、太陽風速 度の予測精度の向上を図っている。

### 4.1.2 コロナホールのサイズなどを用いた予報

Nolte ら[59] は、スカイラブによる観測から、軟 X線で観測されたコロナホールの面積とそこから 吹き出される太陽風速度には比例関係があるこ とを示した。そこで、亘ら[41]は、軟 X 線で観測 されたコロナホールのサイズなどとそれに対応 する太陽風速度の関係を統計的に求め、これを

地球近傍における太陽風速度の予測に使う手法の検討を行っている。軟 X 線観測データを用いる場合、太陽の活動が高いとコロナホールの観測が活動領域からの迷光の影響を受けることや観測機器の保護のためコロナホールの観測に必要な長時間露光データが得られないというような問題点がある。

#### 4.1.3 IPS観測を用いた予報

名古屋大学とカリフォルニア大学サンディエゴ校(UCSD)は共同で、IPS観測データをトモグラフィー手法で解析し、太陽風の速度や密度の3次元構造を求めて地球近傍の太陽風や太陽風擾乱の予測する手法について試行している(http://stesun5.stelab.nagoya-u.ac.jp/forecast/)[60]。IPS観測を用いた手法は、電波星からの電波のシンチレーションを使うため惑星間空間中の多くの点での速度や密度のデータが得られるメリットがあり、太陽風擾乱の3次元的構造や回帰性の高速太陽風を捕らえることができる。

### 4.2 太陽風擾乱到来の予測

経験モデルや磁気流体 (MHD) シミュレーションを用いた試みが行われている。アラスカ大学、EXploration Physics International Inc. (EXPI)、NOAA/SEC のグループは、STOA (shock time of arrival)モデル、HAF (Hakamada-Akasofu-Fry)モデル、ISPM (interplanetary shock propagation model) モデルを用いて到来時刻予測を試行している[62] [63]。

### **4.2.1** STOA モデル[64] [65]

CMEに伴う衝撃波は太陽近傍のある距離まで一定速度を保ち、その後、距離の0.5乗に反比例してその速度が減速するというモデルである。これは、惑星間空間擾乱をスーパーノバや核爆発に伴う衝撃波の伝搬と類似した現象としてとらえたものである。モデルでは、Ⅱ型太陽電波バーストから求められるコロナ擾乱の速度、背景の太陽風速度を入力することにより、地球への到来時刻を予測する。亘[66]は、Javaスクリプトを用いてホームページ上で擾乱の到来時刻の予測計算が行えるツールの開発を行った。

### **4.2.2** HAFモデル[67]

太陽近傍のソースからのプラズマの流れをも とにしたキネマティックなモデルにより、太陽 風擾乱の伝搬を再現しようとしたものである。 太陽半径の2.5倍のソースサーフェスにおいて、 太陽圏中性面 (heliospheric current sheet) から高 緯度に向かって速度が増加するモデルや Wang-Sheeley モデルなどにより静穏太陽風の速度を決 める。次に、経験的な速度と距離の関係式から 静穏太陽風速度の空間分布を決める。擾乱に対 応した円形の領域にガウス分布で速度分布を与 える。速度には、急激に増加した後、徐々に減 少するような時間変化を与え、擾乱の伝搬をモ デル化する。擾乱の発生位置、空間的広がり、 初期速度を入力することにより擾乱の伝搬を決 定する。最近では、Fryら[63]により改良がなされ、実際の予報への試みが行われている。

#### **4.2.3** ISPMモデル

DryerやSmithら[62][68]は、2.5次元あるいは3次元のMHDシミュレーションにより、1AUにおける衝撃波の到来時刻やその強さを予測するための研究を行っている。このモデルは、GOES衛星で観測されるフレアの大きさと継続時間、フレアの発生位置、II型太陽電波バーストから求められるコロナ擾乱の速度を入力として用い擾乱の伝搬について計算を行う。2.5次元や3次元でシミュレーションを行っているので、擾乱の中央部分が地球に到来した場合や周縁部分が地球へ到来した場合の到来時間や衝撃波の強さの違いなどを予測することができる。

# **4.2.4** 高エネルギー粒子や宇宙線観測による 予報

擾乱に伴う衝撃波によって加速された高エネルギー粒子は、擾乱本体より速く地球へ到来することから、擾乱が太陽から放出されたことを知り、地球への到来時刻を正確に予測しようという試みがなされている[69]。一方、太陽風擾乱による銀河宇宙線の強度変動は、フォーブッシュ減少(Forbush decrease)としてよく知られているが、最近、擾乱が地球に到来する前にその前面に形成された衝撃波により、銀河宇宙線の強度に独特な変動が生じることが発見された[70]。この前兆現象(Precursor)を世界的な宇宙線の観測網で観測して擾乱の到来の予測に使おうという研究が日本の宇宙線観測グループを中心としてなされつつある。

### 4.3 南向きのIMFの予測

亘ら[71]により、太陽観測に基づいた太陽風擾乱による1AUでの南向きIMFの予測の可能性が検討されている。地球磁気圏と相互作用を起こす南向きのIMFは、伝搬中に惑星間空間擾乱の前面でドレーピング(draping)により形成されるもの[72]と磁気ロープとして太陽から直接運び出されるものがある[73]。

図12に示したようにドレーピングによるものは、地球と太陽風擾乱の相対的な位置関係やIMFのセクター構造を考慮することで、ある程度予測することができる。また、磁気ロープによるものに関しては、太陽から地球までその構造が保持されて到来するとすれば、磁気ロープに対応する太陽面でのフィラメント消失や軟X線アーケードの観測を用いて推測することが可能である[73] [74]。

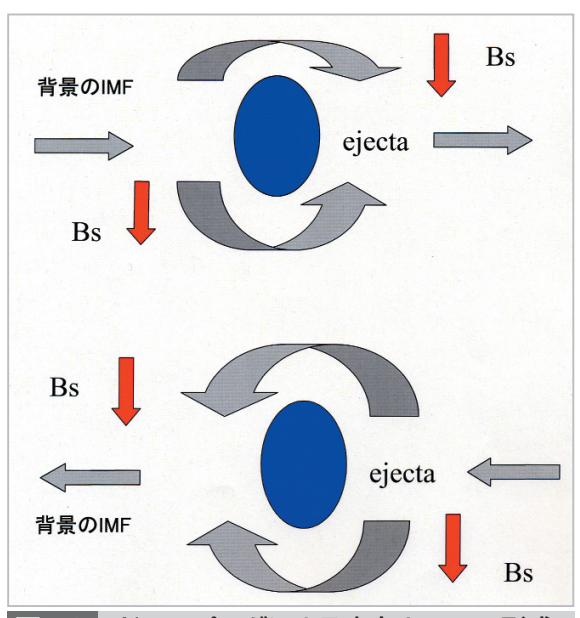


図 12 ドレーピングによる南向き IMFの形成

ここでは二つのモデルを紹介する。南向きのIMFの予測としては、原因となる太陽の観測から予測を行う手法と、現在の太陽風の状態からその先の推移を予測する手法とがある。以下で紹介するWu-Dryerの予報モデル[75]は前者であり、Chenらの予報モデル[76][77]は後者である。

#### **4.3.1** Wu-Dryer の予報モデル

Wu と Dryer[75]は、3次元の MHD シミュレーションを行い、擾乱の原因となった現象の太陽 面での発生位置及び擾乱が伝搬する IMF セクタ

ーの構造から擾乱前面でのIMFの南北成分の変動を予測する手法を開発した。その手法をGoslingら[78]によって選ばれた大地磁気嵐の原因となった25のCMEイベントに適用した。その結果、25イベントのうち21イベントについて、擾乱の到来に伴って起こる1AUでのIMFの南北成分の変動を正しく予測することができたと報告されている[75]。

#### **4.3.2** Chen の予報モデル

Chenら[76]は、太陽風の磁場のリアルタイム観 測データから磁気ロープ構造を持つ太陽風擾乱 について、数時間先の南向きIMFの最大値や継 続時間を予測する手法を開発した。これは、磁 気ロープ構造を持つ磁気雲中では、変動の少な い強いIMFが長時間続き、そのベクトルがきれ いに回転するという特徴を利用したものである。 IMFの東西成分Bvと南北成分Bzが正弦波的に 変動すると仮定して観測されたデータにフィッ ティングを行い、ベイズ判別法により過去のデ ータから得られた変動パターンと比較し、その 大きさや継続時間を予測する。この手法を1978 年8月から12月の5か月間の太陽風データに適応 してテストを行った結果、この期間に発生した 六つの地磁気嵐の原因となった太陽風擾乱のう ち、五つを正しく識別することができたことが 報告されている[77]。

### 5 むすび

これまでの研究の結果、太陽コロナ中の擾乱であるCMEが太陽風擾乱に深くかかわっていることが分かってきた。また、太陽風擾乱に伴う衝撃波により高エネルギー粒子の加速が起こることや地磁気嵐の原因となる南向きのIMFの形成とCMEの関連などが明らかになってきた。さらに、これまでの研究成果を用いて太陽風擾乱を予報する試みがなされつつあり、今後の研究によりその精度向上が期待される。

太陽風擾乱の三次元構造については、2005年 の年末にNASAが打ち上げを予定している STEREO (Solar Terrestrial Relations Observatory)が、2機の衛星で太陽風擾乱のステレオ観 測を行うことにより明らかにされると思われる [79]。また、依然として解明されていない太陽コ ロナの加熱や太陽風の加速メカニズム、CMEのトリガーメカニズムについては、2004年に日本の宇宙科学研究所が打ち上げを予定している

Solar-B衛星による光球磁場・速度場の精密観測が何らかの糸口を与えてくれる可能性がある[80]。

### 参考文献

- 1 Z. Svestka and Y. Uchida (Eds.), "The YOHKOH (SOLAR-A) Mission", Kluer Academic Publishers, 1991.
- 2 B. Fleck, V. Domingo, and A. I. Poland (eds.), "The SOHO Mission", Kluwer Academic Publishers, 1995.
- **3** K. T. Strong, M. Bruner, T. Tarbell, A. Title, and C. J. Wolfson, "TRACE the Transition Region and Coronal Explorer", Space Sci. Rev., Vol.70, 119-122, 1994.
- 4 B. R. Dennis, R. P. Lin, R. C. Canfield, C. J. Crannel, A.J.Gordon, H. H. Hudson, G. J. Hurford, J. C. Ling, N. W. Madden, W. Norman, and R. Ramaty, "High-Energy Solar Spectroscopic Imager (HESSI)", in Missions to the Sun, David, M. R. (ed.), Proc. SPICE, Vol.2804, pp.228-240, 1996.
- 5 C. T. Russell (ed.), "The Global Geospace Mission", Space Sci. Rev., Vol.71, 1995.
- **6** C. T. Russell, R. A. Mewaldt, and T. T. von Rosenvinge (eds.), "The Advanced Composition Explorer Mission", Kluwer Academic Publishers, 1999.
- **7** K. P. Wenzel, R. G. Marsden, D. E. Page, and E.J. Smith, "The ULYSEES Mission", Astron. and Astrophys. Suppl., Vol.92, 207-219, 1992.
- 8 E. N. Parker, "Dynamics of interplanetary gas and magnetic fields", Astrophys. J, Vol.128, 644, 1958.
- **9** R. R. Grall, W. A. Coles, M. T. Klinglesmith, A. R. Breen, P. J. S. Williams, J. Markanen, and R. Esser, "Rapid acceleration of the polar solar wind", Nature, Vol.379, 429-432, 1996.
- 10 G. Alazraki and P. Courtier, "Solar wind acceleration caused by the gradient of Alfven wave pressure", Astron. Astrophys., Vol.13, 380, 1971.
- 11 J. W. Belcher, "Alfvenic wave pressures and solar wind", Astrophys. J., Vol.168, 509, 1971.
- 12 E. N. Parker, "Nanoflares and the solar-x-ray corona, 1998", Astrophys. J, Vol.330, 474-479, 1988.
- 13 T. Shimizu, "Energetics and occurrence rate of active region transient brightenings and implications for the heating of the active-region corona", PASJ, Vol.47, 251-263, 1995.
- 14 S. Krucker and A. O. Benz, "Energy distribution of heating process in the quiet solar corona, 1998", Astrophys. J, Vol.501, L213-L216, 1998.
- **15** C. E. Parnell and P. E. Jupp, "Statistical analysis of the energy distribution of nanoflares in the quiet sun", Astrophys. J, Vol.529, 554-569, 2000.
- 16 M. J. Aschwanden, R. W. Nightingale, T. D. Tarbell, and C. J. Wolfson, "Time variability of the "quiet"sun observed with TRACE I. Instrumental effects, event detection, and discrimination of extreme-ultraviolet microflares", Astrophys. J, Vol. 535, 1027-1046, 2000.
- 17 K. P. Raju, T. Sakurai, K. Ichimoto, and J. Singh, "The physical conditions in a polar coronal hole and nearby regions form Norikura and SOHO observations", Astrophys. J., Vol. 543, 1044-1050, 2000.
- 18 D. J. McComas, S. J. Bam, B. L. Barraclough, W. C. Feldman, H. O. Funsten, J. T. Gosling, P. Riley, R. Skoug, A. Balogh, R. Forsyth, B. E. Goldstein, and M. Neugebauer, Geophys. Res. Lett., Vol.25, 1-4, 1998.
- 19 D. J. McComas, B. L. Barraclough, H. O. Funsten, J. T. Gosling, E. Santiago-Munoz, R. M. Skoug, B. E. Goldstein, M. Neougebauer, P. Riley, and A. Balogh, "Solar wind observations over Ulysses' first full polar orbit", J. Geophys. Res., Vol.105, 10419-10433, 2000.
- **20** E. J. Smith, A. Balogh, R. J. Forsyth, and D. J. McComas, "Ulysses in the south polar cap at solar maximum: Heliospheric magnetic field", Geophys. Res. Lett., Vol.28, 4159-4162, 2001.
- 21 D. J. McComas, R. Goldstein, J. T. Gosling, and R. M. Skoug, "Ulysses' second orbit: Remarkably different

- solar wind", Space Sci. Rev., Vol.97, 99-101, 2001.
- 22 A. L. Cortie, "Sunspots and terrestrial magnetic phenomena", 1898-1911: The cause of the annual variation in magnetic disturbances, Mon. Not. R. Astron. Soc., Vol.73, 52, 1912.
- 23 J. Bartels, "Eine universelle Tagsperiode er erdmagnetischen Aktivitat", Meteorol. Z., Vol.42, 147, 1925.
- 24 J. Bartels, "Terrestrial-magnetic activity and its relation to solar phenomena", Terr. Magn. Atmos. Electr., Vol.37, 1, 1932.
- 25 C.T. Russell and R.L. McPherron, "Semiannual variation of geomagnetic activity", J. Geophys. Res., Vol.78, 92, 1973.
- 26 E. W. Cliver, Y. Kamide, and A. G. Ling, "Mountains versus valleys: Semiannual variation of geomagnetic activity", J. Geophys. Res., Vol.105, 2413-2424, 2000.
- 27 J. D. Richardson, "The heliosphere interstellar medium interaction: One shock or two?", Geophys. Res. Lett., Vol.24, 2889-2892, 1997.
- **28** 前田 担, "太陽惑星環境の物理学", p.119, 共立出版, 1982.
- 29 A. J. Hundhausen, "Coronal Expansion and Solar Wind Speed", Springer, 1972.
- 30 B. Tsurutani, C. M. Ho, J.K. Arballo, B. E. Goldstein, and A. Balogh, "Large amplitude IMF fluctuations in corotating interactions regions: Ulysees at midlatitudes", Gophys. Res. Lett., Vol.22, 3397-3400, 1995.
- 31 S. Watari, "The effect of the high speed stream following the corotating interaction region: Analysis of large south polar coronal holes observed between December 1993 and June 1994 and long-duration geomagnetic disturbances", Ann. Geophysicae, Vol.15, 662-670, 1997.
- 32 A. J. Hundhausen, "5. Coronal Mass Ejections, in The Many Faces of the Sun; A Summary of the Result from NASA's Solar Maximum Mission", Strong, K. T., Saba, J. L. R., Haisch, B. H., and Schmelz, J. T. (eds.), p.143-200, New York, NY: Springer-Verlag, 1997.
- 33 A. J. Hundhausen, "An introduction, in Coronal Mass Ejections", Crooker, N., Joselyn. J. A., and Feynman, J.(eds.), Geophys. Monograph., pp.1-7, Washington, DC, AGU, 1997.
- 34 T. G. Forbes, "A review on the genesis of coronal mass ejections", J. Geophys. Res., Vol.105, 23153-23165, 2000.
- 35 J. A. Klimchunk, "Theory of coronal mass ejections", in Space weather, Song, P., Singer, H. J., and Siscoe, G. L. (eds.), Geophys. Monograph., pp.329-337, Washington, DC, AGU, 2001.
- 36 S. W. Kahler, "Solar flares and coronal mass ejections", Ann. Rev. Astrophys., Vol.30, 113, 1992.
- 37 A. H. McAllister, M. Dryer, P. McIntosh, H. Singer, L. Weiss, "A large polar crown coronal mass ejection and a "problem" geomagnetic storm: April 14-23", J. Geophys. Res., Vol.101, 13497-13516, 1994.
- 38 S. Watari, T. Detman, and J. A. Joselyn, "A large arcade along the inversion line on May 19, 1992 by Yohkoh, and enhancement of interplanetary energetic particles", Solar Phys., Vol.169, 167-179, 1996.
- 39 O. C. St. Cyr, R. A. Howard, N. R. Sheeley Jr., S. P. Plunkett, D. J. Michels, S. E. Paswaters, M. J. Koomen, G. M. Simnett, B. J. Thompson, J. B. Gurman, R. Schwenn, D. F. Webb, E. Hildner, and P. L. Lamy, "Properties of coronal mass ejections: SOHO LASCO observations from January 1996 to June 1998", J. Geophys. Res., Vol.105, 18169-18185, 2000.
- 40 G. E. Brueckner, J. P. Delaboudiniere, R. A. Howard, S. E. Paswaters, O. C. St Cyr, R. Schwenn, P. Lamy, G. M. Simnett, B. Thompson, and D. Wang, "Geomagnetic storms caused by coronal mass ejections (CMEs): March 1996 through June 1997", Geophys. Res. Lett., Vol.25, 3019-3022, 1998.
- 41 S. Watari, Y. Kozuka, M. Ohyama, and T. Watanabe, "Soft X-ray coronal holes observed by the Yohkoh SXT", J. Geomag. Geoelectr., Vol.47, 1063-1071, 1995.
- 42 A. C. Stering and H. S. Hudson, "YOHKOH SXT observations of x-ray "dimming" associated with a halo coronal mass ejection", Astrophys. J, Vol.491, L55, 1997.

- **43** B. J. Thompson, S. P. Plunkett, J. B. Burman, O. C. St. Cyr, and D. J. Nichels, "SOHO/EIT observations of an Earth-directed coronal mass ejection May 12, 1997", Geophys. Res. Lett., Vol.25, 2465-2468, 1998.
- **44** D. M. Zarro, A. C. Sterling, B. J. Thompson, H. S. Hudson, and N. Nitta, "SOHO EIT observations of extreme-ultraviolet "dimming"associated with a halo coronal mass ejection", Astrophys. J, Vol.520, L139-L142, 1999.
- **45** B. J. Thompson, E. W. Cliver, N. Nitta, C. Delannee, and J. P. Delaboudiniere, "Coronal dimmings and energetic CMEs in April-May 1998", Geophys. Res. Lett., Vol.27, 1865-1868, 2000.
- **46** R. C. Canfield, H. S. Hudson, and D. E. McKenzie, "Sigmoidal morphology and eruptive solar activity", Geophys. Res. Lett., Vol.26, 627-630, 1999.
- **47** A. C. Sterling, H. S. Hudson, B. J. Thompson, and D. M. Zarro, "Yohkoh SXT and SOHO EIT observations of sigmoid-to-arcade evolution of structures associated with halo coronal mass ejections", Astrophys. J, Vol.532, 628-647, 2000.
- **48** B. J. Thompson, J. B. Gurman, W. M. Newmark, J. S. Delaboudiniere, O. C. St Cyr, S. Stezelberger, K. P. Dere, R. A. Howard, and D. J. Michels, "SOHO/EIT observations of the 1997 April 7 coronal transient: Possible evidence of coronal Moreton waves", Astrophys. J, Vol.517, L151-L154, 1999.
- **49** B. J. Thompson, B. Reynolds, H. Aurass, N. Gopalswamy, J. B. Gurman, H. S. Hudson, S. F. Martin, and O. C. St. Cyr, "Observations of the 24 September 1997 coronal flare waves", Sol Phys., Vol.193, 161-180, 2000.
- 50 G. F. Moreton, "Fast-moving disturbances on the Sun, Sky and Telescope", Vol.21, 145, 1961.
- 51 S. Eto, H. Isobe, N. Narukage, A. Asai, T. Morimoto, B. Thompson, S. Yashiro, T. Wang, R. Kitai, H. Kurokawa, and K. Shibata, "Relation between a Moreton wave and an EIT wave observed on 1997 November 4", PASJ, Vol.54, 481-491, 2002.
- **52** H. V. Cane, D. V. Ream, and T. T. von Rosenvinge, "The role of interplanetary shocks in the longitude distribution of solar energetic particles", J. Geophys. Res., Vol.93, 9555-9567, 1988.
- **53** D. V. Reames, "Energetic particles and structure of coronal mass ejections", in Coronal mass ejection, Crooker, N., Joselyn, J. A., and Feynman, J. (eds.), Geophys. Monograph., pp.217-226, Washington, DC, AGU, 1997.
- **54** M. J. Reiner, M. L. Kaiser, J. Fainberg, J.-L. Bougere, and R. G. Stone, "On the origin of radio emissions associated with the January 6-11, 1997", CME, Geophys. Res. Lett., Vol.25, 2493-2496, 1998.
- **55** M. Neugebauer and R. Goldstein, "Particle and field signatures of coronal mass ejections in the solar wind", in Coronal mass ejection, Crooker, N., Joselyn, J. A., and Feynman, J. (eds.), Geophys. Monograph., pp.245-251, Washington, DC, AGU, 1997.
- **56** Y. M. Wang and N. R. Jr. Sheeley, "Why fast solar wind originates from slowly expanding coronal flux tubes", Astrophys. J, Vol.372, L45-L48, 1991.
- 57 K. Hakamada, M. Kojima, T. Ohmi, M. Tokumaru, K. Fujiki, and A. Yokobe, "Solar wind speed and expansion rate of the coronal magnetic field in solar maximum and minimum phase", Solar Phys., Vol.207, 173-185, 2001.
- **58** C. N. Arge and V. J. Pizzo, "Improvement in the prediction of solar wind conditions using near-real time solar magnetic field updates, 2000", J. Geophys. Res., Vol.105, 10465-10480, 2000.
- **59** J. T. Nolte, A. S. Krieger, A. F. Timothy, R. E. Gold, E. C. Roelof, G. Vaiana, A. J. Lazarus, J. D. Sullivan, and P. S. McIntosh, "Coronal hole as source of solar-wind", Solar Phys., Vol.46, 303-322, 1976.
- **60** K. Asai, M. Kojima, M. Tokumaru, A. Yokobe, B. V. Jackson, P. L. Hick, P. K. Manoharan, "Heliospheric topography using interplanetary scintillation observations 3. Correlation between speed and electron density fluctuations in the solar wind", J. Geophys. Res., Vol.103, 1991-2001, 1998.

- **61** M. Tokumaru, M. Kojima, K. Fujiki, and A. Yokobe, "Three-dimensional propagation of interplanetary disturbances detected with radio scintillation measurements at 327 MHz", J. Geophys. Res., Vol.105, 10435, 2000.
- **62** Z. Smith, M. Dryer, E. Ort, and W. Murtagh, "Performance of interplanetary shock prediction models: STOA and ISPM", J. Atomos. and Solar-Terrestrial Phys., Vol.62, 1265-1274, 2000.
- **63** C.D. Fry, W. Sun, C.S. Deehr, M. Dryer, Z. Smith, S.-I. Akasofu, M. Tokumaru, M. Kojima, "Improvements to the HAF solar wind model for space weather predictions", J. Geophys. Res., Vol.106, 20985-21002, 2001.
- **64** M. Dryer and D. F. Smart, "Dynamical models of coronal transients and interplanetary disturbances", Adv. Space Res., Vol.4, 291-301, 1984.
- **65** D. F. Smart and M. A. Shea, "A simplified model for timing the arrival of solar-flare-initiated shocks", J. Geophys. Res., Vol.90, 183-190, 1985.
- 66 亘、"Javaスクリプトによる地磁気嵐の原因となる惑星間空間擾乱の到来時刻予測ツールについて"、通信総合研究所季報 12月号掲載予定.
- **67** K. Hakamada, S. -I. Akasofu, "Simulation of three-dimensional solar wind disturbances and resulting geomagnetic storms, 1982", Space Sci. Rev., Vol.31, 3-70, 1982.
- **68** Z. Smith and M. Dryer, "MHD study of temporal and spatial evolution of simulated interplanetary shocks in the ecliptic plane within 1 AU", Solar Phys., Vol.129, 387-405, 1990.
- **69** Z. Smith and R. Zwickl, "Forecastiong geomagnetic storms using energetic particle enhancements", in SOLAR WIND NINE Proceedings of the Ninth International Solar Wind Conference, Habbal, S. R., Esser, R., Hollweg, J. V., and Isenberg, P. A. (eds.), p.577-580, American Insitute of Physics, 1999.
- **70** K. Munakata, J. W. Bieber, S. Yasue, C. Kato, S. Akahane, K. Fujimoto, Z. Fujii, J. E. Humble, and M. L. Duldig, "Precursors of geomagnetic storms observed by the muon detector network", J. Geophys. Res., Vol.105, 27457-27468, 2000.
- **71** S. Watari, M. Vandas, and T. Watanabe, "Formation of strong southward IMF near solar maximum of cycle 23", submitted to Ann. Geophysicae, 2002.
- 72 D. J. McComas, J. T. Gosling, S. J. Bame, E. J. Smith, and H. V. Cane, "A test of magnetic field draping induced Bz perturbations ahead of fast coronal mass ejecta", J. Geophys. Res., 94, 1465, 1989.
- 73 Marubashi, K., "Interplanetary magnetic flux ropes and solar filaments", in Coronal Mass Ejections, Geophys. Monogr. Ser., Vol.99, edited by N. Crooker, J. A. Joselyn, and J. Feynman, p.147, AGU, Washington, D. C., 1997.
- **74** S. Watari, T. Watanabe, K. Marubashi, "Soft X-ray solar activities associated with interplanetary magnetic flux ropes", Solar Phys., 202, 363-384, 2001.
- **75** C. -C. Wu and M. Dryer, "Predicting the IMF Bz polarity's change at 1 AU caused by coronal mass ejections", Geophys. Res. Lett., Vol.23, 1709-1712, 1996.
- **76** J. Chen, P. J. Cargill, and P. J. Palmadesso, "Real-time identification and prediction of geoeffective solar wind structures", Geophys. Res. Lett., Vol.22, 2319-2322, 1996.
- 77 J. Chen, P. J. Cargill, and P. J. Palmadesso, "Predicting solar wind structures and their geoeffectiveness", J. Geophys. Res., 102, 14701, 1997.
- **78** J. T. Gosling, S. J. Bame, D. J. McComas, and J. L. Philips, "Coronal mass ejections and large geomagnetic storms", Geophys. Res. Lett., 17, 901-904, 1990.
- **79** O. C. St. Cyr and J. M. Davila, "The STEREO space weather broadcast", in Space weather, Song, P., Singer, H. J., and Siscoe, G. L. (eds.), Geophys. Monograph., p.205-209, Washington, DC, AGU, 2001.
- 80 T. Shimizu and the Solar-B Team, "Solar-B", Adv. Space Res., Vol.29, 2009-2015, 2002.



章 **慎一** 企画部企画室主任研究員 博士(理学)太陽地球結合系物理